

07,01

## Термоактивационная стадия откольного разрушения алюминия в субнаносекундном диапазоне времен нагружения

© А.М. Молодец

Институт проблем химической физики РАН,  
Черноголовка, Россия

E-mail: molodets@icp.ac.ru

(Поступила в Редакцию 21 апреля 2014 г.)

Обобщены современные экспериментальные данные по температурно-временной зависимости откольной прочности алюминия. Эти данные соотнесены с измерениями долговечности алюминия и истолкованы в рамках кинетической концепции прочности твердых тел. Представлена температурно-временная зависимость прочности алюминия в диапазоне времен  $10^5 - 10^{-11}$  с.

Работа выполнена при поддержке программы Президиума РАН „Вещество при высоких плотностях энергии“.

### 1. Введение

Как хорошо известно, реальная прочность твердых тел на порядки меньше их теоретической прочности. Поиски ответов на вопросы, почему такое несоответствие имеет место и что нужно сделать, чтобы реальная прочность приблизилась к теоретической являются центральными задачами физики разрушения. В этом отношении особый интерес представляет изучение процесса откольного разрушения, развивающегося во время взаимодействия сильных волн напряжения в твердых телах. Дело в том, что при отколе максимальное растягивающее напряжение (откольная прочность) в разы превышает реальную прочность материалов, а времена нагружения составляют меньше долей микросекунды. В последнее время в ряде работ были экспериментально измерены рекордно высокие значения откольной прочности, в частности для алюминия [1] в субнаносекундном диапазоне времен нагружения. Кроме этого, давно ведущиеся экспериментальные исследования температурной зависимости откольной прочности металлов в микросекундном диапазоне (см., например, [2–4]) сейчас продвигаются в субмикросекундную область (см. [5]). В [6] получена экспериментальная температурная зависимость откольной прочности алюминия в микросекундном диапазоне. Таким образом, в современной научной литературе имеются экспериментальные данные не только по временной, но и по температурной зависимости прочности, приближающейся к теоретической. В этой связи цель данной работы заключалась в интерпретации современных экспериментальных данных по температурно-временной зависимости откольной прочности алюминия в субнаносекундном диапазоне на основе кинетической концепции прочности твердых тел [7] в рамках термоактивационной модели откола [8].

### 2. Температурно-временная зависимость откольной прочности

В [8] показано, что температурно-временная зависимость откольной прочности железа может быть количественно и качественно истолкована с позиции кинетической концепции прочности. При этом соотношение между временем  $\tau$  термоактивационной стадии откола (время стадии зарождения несплошностей при отколе), температурой  $T$  и откольной прочностью  $\sigma$  выражается аналогом соотношения Журкова

$$\sigma(\tau, T) = \frac{\sigma_{\text{Th}}}{q} \left( 1 - T \frac{R}{U_0} \ln \frac{\tau}{\tau_0} \right), \quad (1)$$

где  $\sigma_{\text{Th}}$  — теоретическая прочность,  $R$  — универсальная газовая постоянная,  $\tau_0$  — время, близкое к обратной дебаевской частоте,  $U_0 = \text{const}$  — начальный барьер элементарного акта разрушения,  $q = q(\tau)$  — зависящий от  $\tau$  коэффициент перенапряжения, определяемый эмпирическим соотношением

$$q = 1 + \kappa_0 \left\{ 1 - \exp \left[ -\frac{1}{\alpha} \left( \frac{\tau}{\theta_0} \right)^\alpha \right] \right\}. \quad (2)$$

График  $q = q(\tau)$  (2) представляет собой несимметричную размытую ступеньку с характерным временем  $\theta \sim \alpha^{1/\alpha} \theta_0$ . В (2)  $\alpha$ ,  $\theta_0$  и  $\kappa_0$  — подгоночные коэффициенты. Случай  $\tau \ll \theta$  соответствует  $q = 1$ , то есть отсутствию перенапряжений и мгновенному разрушению при максимально возможной прочности, приближающейся к  $\sigma_{\text{Th}}$ . Противоположный случай  $\tau \gg \theta$  соответствует  $q = \text{const} = \kappa_0 + 1$ , то есть температурно-временной зависимости прочности при больших временах квазистатического нагружения, когда локальные напряжения  $\sigma_L = q\sigma$  успевают достичь максимальной величины. Для учета этой ситуации величина третьего подгоночного коэффициента  $\kappa_0$  в (2) заранее определяется так, чтобы при  $\tau \gg \theta$  функция (2) адекватно характеризовала долговечность материала при квазистатическом

( $\tau > 10^{-3}$  s) разрушении, что выполняется при

$$\kappa_0 = \frac{\gamma \sigma_{Th}}{U_0} - 1, \quad (3)$$

где  $\gamma$  и  $U_0$  те же, что и в соотношении Журкова.

Таким образом, соотношение (2) содержит параметры  $\gamma$ ,  $U_0$ , характеризующие прочность при больших временах и два подгоночных параметра  $\alpha$ , и  $\theta_0$ , призванных характеризовать разрушение при малых временах разрушения.

После того, как коэффициенты  $\alpha$ , и  $\theta_0$  определены, соотношение (1) вместе с параметрами соотношения Журкова  $\tau_0$ ,  $U_0$ ,  $\gamma$  позволяет в явном виде представить зависимости откольной прочности от времени  $\tau$  при постоянной температуре  $T_i = \text{const}$ , т.е. изотермы  $\sigma_T = \sigma(\tau, T_i)$  в виде

$$\sigma_T = \frac{\sigma_{Th}}{q(\tau)} \left( 1 - T_i \frac{R}{U_0} \ln(\tau/\tau_0) \right). \quad (4)$$

Очевидно, что полное соотношение (1) задает также температурные зависимости откольной прочности  $\sigma_\tau = \sigma(\tau_i, T)$  при постоянном времени  $\tau_i = \text{const}$ . При этом прогнозируется, что в координатах  $\{\sigma_\tau - T\}$  температурные зависимости откольной прочности  $\sigma_\tau = \sigma(\tau_i, T)$  представляют собой прямые линии

$$\sigma_\tau = \sigma_0 + \eta T \quad (5)$$

где коэффициенты  $\sigma_0$  и  $\eta$  не зависят явно от температуры и являются функциями только времени  $\tau_i$

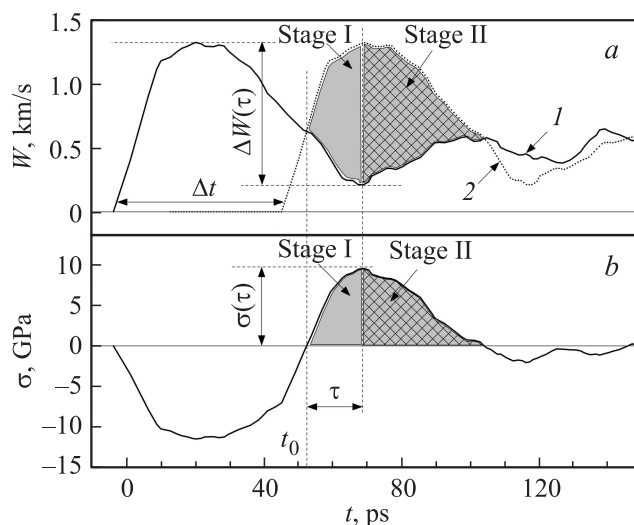
$$\sigma_0 = \frac{\sigma_{Th}}{q(\tau_i)}, \quad (6)$$

$$\eta = - \left( \frac{\sigma_{Th}}{q(\tau_i)} \frac{R}{U_0} \right) \ln(\tau_i/\tau_0). \quad (7)$$

Соотношения (4) и (5) можно сопоставить с откольными экспериментами и тем самым оценить адекватность описания термоактивационной стадии откольного разрушения того или иного материала. В следующем разделе соотношения (4) и (5) сопоставлены с экспериментами для алюминия в диапазоне времен нагружения  $10^{-11} - 10^5$  s.

### 3. Нахождение параметров модели по экспериментальным данным

Согласно [8], параметры  $\alpha$  и  $\theta_0$  могут быть оценены, если известна экспериментальная зависимость растягивающих напряжений от времени при отколе. Способ реконструкции зависимости растягивающих напряжений  $\sigma$  от времени  $t$  при отколе  $\sigma(t)$  (профиля  $\sigma(t)$ ) в сечении откола (плоскости в образце, отстоящей от его свободной поверхности на величину  $\delta$ ) был предложен в [9]. Согласно приближению [9], профиль  $\sigma(t)$  можно построить, если известны профиль  $W(t)$  скорости свободной поверхности разрушающегося образца и время  $\Delta t$  реверберации откольного импульса в откольной



**Рис. 1.** Реконструкция зависимости растягивающих напряжений  $\sigma$  от времени  $t$  при отколе — профили  $\sigma(t)$  в сечении откола согласно [9] и подразделение процесса откольного разрушения на две стадии согласно [8] (пояснения приведены в тексте).

пластине толщиной  $\delta$ . В этом случае значение действовавших в сечении откола растягивающих напряжений рассчитывается по формуле

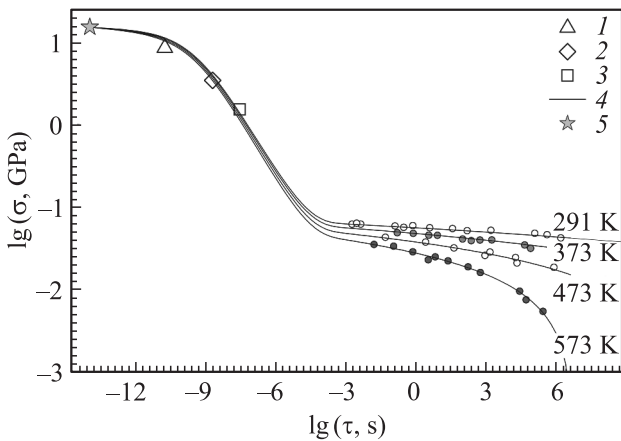
$$\sigma(t) = 0.5\rho C\Delta W(t), \quad (8)$$

где  $\rho$  и  $C$  — плотность материала образца и скорость звука в нем, а  $\Delta W(t)$  — положительная часть разности ординат профиля  $W(t)$  (см. профиль 1 на рис. 1, a) и этого же профиля, но смещенного относительно первого на отрезок  $\Delta t = 2\delta/C$  (см. пунктирный профиль 2 на рис. 1, a).

В качестве иллюстрации соотношения (8) на рис. 1 приведен пример расчета с использованием одного из профилей  $W(t)$ , скопированного с рис. 2 из [1]. На этом рисунке момент времени  $t_0$  соответствует моменту появления растягивающих напряжений в плоскости откола. На рис. 1, a затемненной областью показан профиль  $\Delta W(t)$ . На рис. 1, b затемненной областью показан профиль  $\sigma(t) = 0.5\rho C\Delta W(t)$ .

Согласно [8], стадия зарождения несплошностей при отколе (Stage I, см. рис. 1) протекает с момента появления растягивающего напряжения  $t_0$  и длится в течение времени  $\tau$  до момента достижения растягивающими напряжениями максимального значения  $\sigma(\tau)$  (см. рис. 1, b). Величина  $\sigma(\tau)$  является откольной прочностью в общепринятом смысле и вычисляется в первом приближении как  $\sigma(\tau) = 0.5\rho C\Delta W(\tau)$ .

Заштрихованная область на рис. 1 соответствует второй стадии откола — стадии роста и объединения несплошностей (Stage II, см. рис. 1), которая развивается после достижения  $\sigma(\tau)$  и сопровождается релаксацией растягивающих напряжений до нуля в момент отделения откольной пластины.



**Рис. 2.** Температурно-временная зависимость прочности алюминия в диапазоне времен нагружения  $10^6-10^{-11}$  с. 1, 2, 3 — откольная прочность алюминия при начальной температуре  $T_0 \sim 300$  К: 1 — данные [1], 2 — данные [10], 3 — данные [6], 4 — расчетный „веер“ температурно-временной зависимости прочности алюминия (1) с коэффициентами из табл. 1 (цифры указывают температуру, постоянную для каждой кривой). 5 — оценка теоретической прочности алюминия по формуле (19). Точки — долговечность алюминия (данные [7,11]).

Зависимость откольной прочности  $\sigma(\tau)$  от времени  $\tau$  при различных температурах  $T(\tau)$  разрушающегося материала представляет собой температурно-временную зависимость откольной прочности  $\sigma(\tau, T)$ . На рис. 2 представлены данные по временной зависимости откольной прочности алюминия  $\sigma(\tau, T_0)$  при начальной температуре  $T_0 \sim 300$  К из [1,6,10]. При этом в качестве величины откольной прочности взяты значения из цитируемых работ, а время  $\tau$  рассчитано по экспериментальным профилям из этих работ так, как это проиллюстрировано на рис. 1, а.

**Таблица 1.** Параметры функционального соотношения для температурно-временной зависимости прочности алюминия

$\alpha$	$\lg(\theta_0, \text{ s})$	$\kappa_0$	$\lg(\tau_0, \text{ s})$	$U_0$ kJ/mol	$\gamma,$ cm <sup>3</sup> /mol	$\sigma_{\text{Th}},$ GPa
0.48	-4.2	173.3	-14.0	226.044	2637.18	14.94

На рис. 2 представлены также квазистатические данные [11] по долговечности монокристаллического алюминия, представленные в [7], а также значение теоретической прочности алюминия  $\sigma_{\text{Th}} = 14.94$  GPa (см. раздел 5). Вариацией подгоночных коэффициентов  $\alpha$  и  $\theta_0$  была найдена оптимальная температурно-временная зависимость прочности алюминия (1) в диапазоне времен  $10^5-10^{-11}$  с, охватывающем откольные [1,6,10] и квазистатические [7,11] экспериментальные данные. Полученные значения  $\alpha$ ,  $\theta_0$ ,  $\kappa_0$ , а также используемые для

алюминия величины  $\lg \tau_0$ ,  $U_0$ ,  $\gamma$  из [7] приведены в табл. 1.

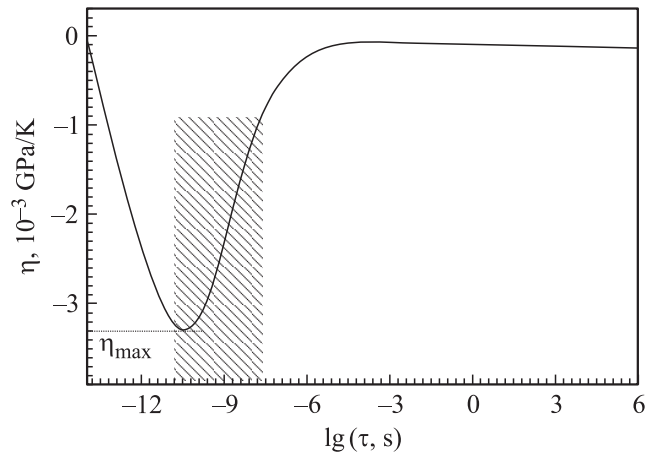
#### 4. Обсуждение результатов

Как следует из структуры формулы (1), „веер“ графиков  $\sigma(\tau, T_0)$  при различных  $T_0$  центрирован относительно точки  $(\sigma_{\text{Th}}, \tau_0)$  и имеет точки перегиба в области между  $\theta_0$  и  $\tau_0$ . Благодаря этому соотношение (1) с найденными коэффициентами единообразно аппроксимирует экспериментальные данные по температурно-временной зависимости прочности алюминия как при больших ( $10^5-10^0$  с), так и при малых ( $10^{-7}-10^{-11}$  с) временах разрушения.

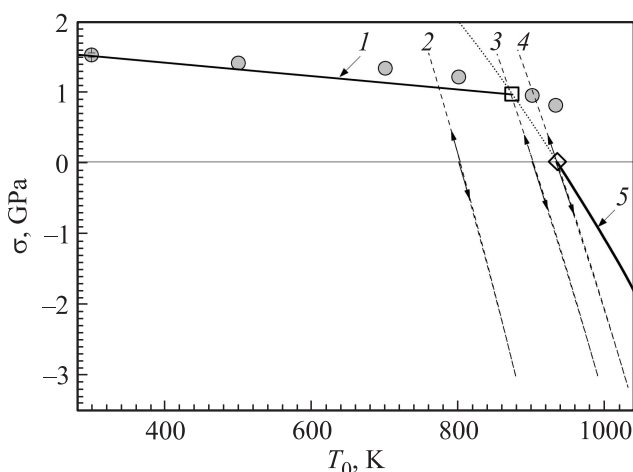
Действительно, на рис. 2 показана температурно-временная зависимость прочности алюминия (1) в квазистатической области при  $\sigma \sim 0.5$  GPa. Видно, что соотношение (1) в пределах погрешностей согласуется с откольными экспериментами [1,6,10] и температурно-временной зависимостью прочности монокристаллического алюминия [7] в диапазоне температур 300–600 К.

Как отмечалось выше, согласно (1) в полулогарифмических координатах температурная зависимость прочности представляет собой прямую линию с наклоном  $\eta$ , зависящим от  $\tau$  в соответствии с (7). Для алюминия график  $\eta = \eta(\lg \tau)$  представлен на рис. 3. Видно, что этот график предсказывает существенные изменения температурной зависимости прочности алюминия в диапазоне времен  $\tau \sim 10^{-4}-10^{-12}$  с.

В области откольных экспериментов [1,6,10], показанной штриховкой на рис. 3, абсолютная величина наклона достигает максимума  $|\eta_{\text{max}}|$  вблизи данных [1]. В области  $\tau \sim 10^{-7}$  с величина наклона согласуется как в качественном, так и в количественном отношении с экспериментальной температурной зависимостью откольной прочности алюминия из [6]. Действительно, на рис. 4 прямой 1 показан график прямой (5) с наклоном  $\eta$  и величиной  $\sigma_0$ , рассчитанными по (6) и (7), при значении



**Рис. 3.** График частной производной (7) температурной зависимости прочности (5) алюминия.



**Рис. 4.** Температурная зависимость откольной прочности алюминия. 1 — график (5); 2, 3, 4 — изменение температуры в сечении откола при начальных температурах 800, 900 и 932 К в условиях, близких к условиям нагружения [6]. Точки — эксперимент [6]. Стрелки слева направо — процесс ударного сжатия. Стрелки справа налево — процесс разгрузки и растяжения. 5 — кривая плавления алюминия из [12]. Ромб — температура плавления алюминия при атмосферном давлении. Квадрат — точка пересечения экстраполированной кривой плавления 5 с 1.

$\tau \sim 25$  ns, характерном для первой стадии откола в [6]. На рис. 4 прямая 1 ограничена точкой ее пересечения с экстраполированной кривой плавления 5 из [12] (пунктирное продолжение 5). Видно, что рассчитанный график согласуется с экспериментом [6].

Заметим, что обычно экспериментальные данные по температурной зависимости откольной прочности представляются в виде зависимости от начальной температуры образцов  $T_0$  (см. [2,3,5,6]). Вместе с этим очевидно, что температура внутренних слоев образца при ударном сжатии и последующем растяжении  $T(\tau)$  изменяется и во время развития откольного разрушения не равна  $T_0$ . Для того, чтобы оценить различие этих температур, были получены уравнения состояния алюминия (см. раздел 5), а затем с использованием этих уравнений состояния и соотношений Рэнкина–Гюгонио были рассчитаны изменения температуры в цикле ударное сжатие–растяжение (фазовые траектории) применительно к экспериментам [6]. На рис. 4 представлены фазовые траектории для трех начальных температур:  $T_0 = 800$  К (график 2),  $T_0 = 900$  К (график 3) и  $T_0 = 932$  К (график 4). Как видно, для экспериментов [6] разница между  $T_0$  и  $T(\tau)$  невелика.

Вместе с этим можно дополнить интерпретацию экспериментов [6] следующим образом. В диапазоне начальных температур  $900 < T_0 < 932$  К фазовые траектории пересекает экстраполированную в область растяжения кривую плавления 5. Это означает, что в первоначально поликристаллическом алюминиевом образце

наряду с откольным разрушением возможно развитие процесса плавления образца.

## 5. Уравнение состояния алюминия

Полуэмпирическое приближение (см. [8]) для фоновой части свободной энергии твердого тела  $F = F(V, T)$ , где  $V$  — удельный объем материала,  $T$  — его температура, базируется на модели эйнштейновских осцилляторов

$$F = E_x + 3R \left[ \frac{\Theta}{2} + T \ln \left( 1 - \exp \left( -\frac{\Theta}{T} \right) \right) \right]. \quad (9)$$

$$\Theta = \Theta_0 \left( \frac{v_0 - V}{v_0 - V_0} \right)^2 \left( \frac{V_0}{V} \right)^{2/3}, \quad (10)$$

$$v_0 = V_0 \left( 1 + \frac{2}{\gamma_0 - 2/3} \right), \quad (11)$$

где  $R$  — универсальная газовая постоянная,  $\Theta = \Theta(V)$  — характеристическая температура, зависящая только от объема,  $\Theta_0 = \Theta(V_0)$ ,  $v_0$  — параметр, имеющий смысл характеристического объема,  $\gamma_0 = \gamma_0(V_0, T_0)$  — параметр Грюнаизена,  $V_0$  — начальный объем,  $T_0$  — начальная температура.

Единственный подгоночный параметр модели  $v_x$  входит в выражение для потенциальной энергии  $E_x = E_x(V)$

$$E_x = -v_x(C_1 H_x + C_2 x) + C_3, \quad (12)$$

$$H_x = 9 \left( \frac{1}{10} x^{-2/3} + 2x^{1/3} + \frac{3}{2} x^{4/3} - \frac{1}{7} x^{7/3} + \frac{1}{70} x^{10/3} \right), \quad (13)^1$$

$$x = \frac{V}{v_x}, \quad (14)$$

$C_1, C_2, C_3$  — константы, выражающиеся через справочные данные о свойствах материала и параметр  $v_x$ .

Согласно термодинамическим тождествам, уравнения состояния определяются частными производными свободной энергии (9). Так, термическое уравнение состояния  $P = P(V, T) = -\partial F / \partial V$ , т.е. зависимость давления  $P$  от объема и температуры в этой модели, имеет вид

$$P = P_x + 3R \frac{\gamma_G}{V} \Theta \left( \frac{1}{2} + \frac{1}{\exp(\Theta/T) - 1} \right), \quad (15)$$

где  $P_x = P_x(V)$  — потенциальное давление

$$P_x = C_1 F(x) + C_2, \quad (16)$$

$$F(x) = \frac{dH_x}{dx} = 3 \left( -\frac{1}{5} x^{-5/3} + 2x^{-2/3} + 6x^{1/3} - x^{4/3} + \frac{1}{7} x^{7/3} \right), \quad (17)$$

$\gamma_G = \gamma_G(V)$  — объемная зависимость коэффициента Грюнаизена

$$\gamma_G = -\frac{\partial \ln \Theta}{\partial \ln V} = \frac{2}{3} + \frac{2V}{v_0 - V}. \quad (18)$$

<sup>1</sup> В [8] в выражении для  $H_x$  вместо правильного коэффициента  $\frac{1}{70}$  при пятом слагаемом многочлена в скобках напечатано неправильно  $\frac{1}{10}$ .

**Таблица 2.** Коэффициенты полуэмпирического выражения (9) свободной энергии алюминия

$T_0$ , К	$V_0$ , cm <sup>3</sup> /mol	$\Theta_0$ , К	$\nu_0$ , cm <sup>3</sup> /mol	$\nu_x$ , cm <sup>3</sup> /mol	$C_1$ , GPa	$C_2$ , GPa	$C_3$ , kJ/g
298	10.00	325.0	23.129	24.68	-127.478	2640.258	-1220.71

Величина подгоночного параметра  $\nu_x$  для алюминия находилась из условия наилучшего совпадения комнатной изотермы  $P = P(V, T_0)$ , рассчитываемой по формуле (15), и экспериментальной изотермы высокого давления из [13]. Найденная величина  $\nu_x$  алюминия составила 24.68 cm<sup>3</sup>/mol. Полный комплект коэффициентов для (9) представлен в табл. 2.

Достоверность уравнения состояния в области сжатия устанавливалась путем сравнения ударной адиабаты, рассчитанной с использованием (9), с экспериментальной ударной адиабатой алюминия из [14]. Как видно на рис. 5, *a* расчетная 1 и экспериментальная (квадраты) ударные адиабаты практически совпадают. Таким образом, в области сжатия построенные уравнения состояния адекватны эксперименту.

Что же касается области растяжения, то в настоящее время экспериментальные данные здесь отсутствуют. В настоящей работе в области объемов, превышающих  $V_0$ , использовались те же аналитические соотношения, что и в области сжатия. В частности на рис. 5, *a* кривой 2 показано потенциальное давление (16) вплоть до  $\nu_x$ . В соответствии с [8], абсолютное значение потенциального давления (16) при условии нулевой производной  $dP_x/dx = 0$  в точке  $V = \nu_x$  принято в качестве величины теоретической прочности  $\sigma_{Th}$ , которая составляет величину

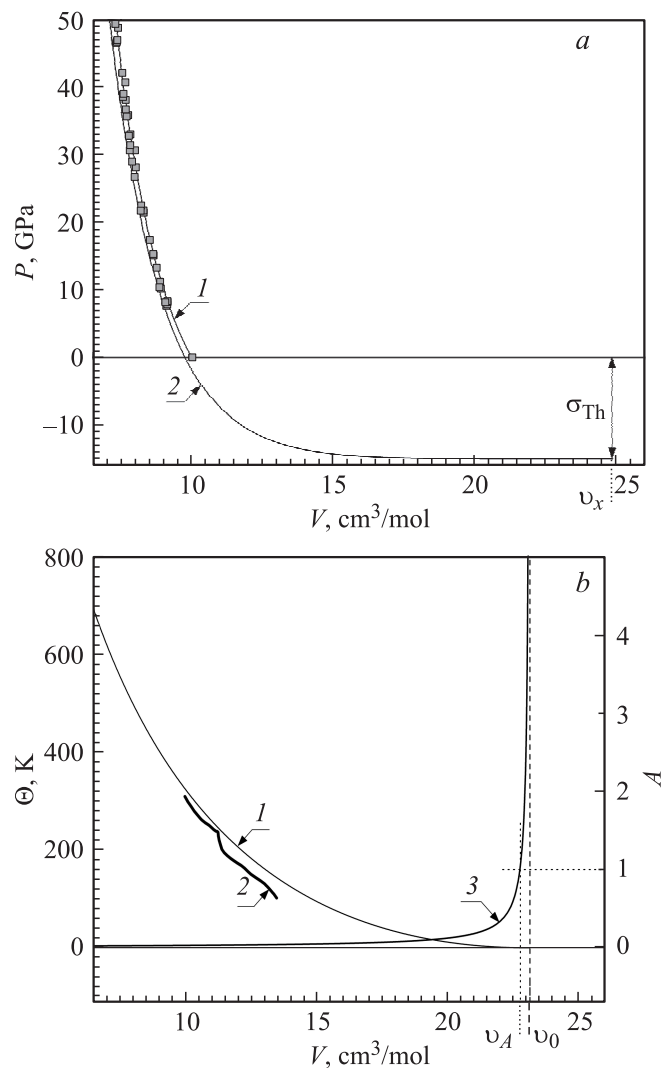
$$\sigma_{Th} = |C_1 F(1) + C_2| \approx |20.8286C_1 + C_2|. \quad (19)$$

Величина  $\sigma_{Th}$  для алюминия, рассчитанная по (19) с константами из табл. 2, составляет 14.94 GPa. Это значение  $\sigma_{Th}$  внесено в табл. 1 и использовано в выражении (1) для характеристики разрушения алюминия.

Отметим, что величина  $\sigma_{Th}$  для алюминия, рассчитанная по (19), согласуется с точностью 20% с величиной теоретической прочности алюминия 11.7 GPa, полученной в первопринципных расчетах [15]. Это согласие оправдывает использование полученных соотношений для качественного анализа поведения алюминия в области больших растяжений. В частности, выражение для объемной зависимости характеристической температуры (10) позволяет обсудить поведение параметра де Бура при растяжении. Как известно, параметр де Бура  $A = x/r$  представляет собой отношение амплитуды нулевых колебаний  $x$  к межатомному расстоянию  $r$ . При этом величина  $x$  выражается через характеристическую температуру  $\theta$ , постоянную Планка  $\hbar$ , постоянную Больцмана  $k$ , постоянную Авогадро  $N$  и атомный вес  $M$  как  $x = \left(\frac{N\hbar^2}{Mk\theta}\right)^{1/2}$ . Иными словами, если известна объемная зависимость характеристической температуры

$\theta = \theta(V)$ , то с учетом  $r = \left(\frac{V}{N}\right)^{1/3}$  оказывается возможным получить объемную зависимость параметра де Бура  $A = A(V) = x(V)/r(V)$ .

Заметим далее, что объемная зависимость характеристической температуры (10) для алюминия, показанная на рис. 5, *b* кривой 1, с точностью 15% согласуется в диапазоне объемов до  $\sim 14$  cm<sup>3</sup>/mol с расчетной



**Рис. 5.** Теплофизические свойства алюминия в области сжатия и растяжения. *a*) 1 — расчетная ударная адиабата алюминия, квадраты — экспериментальная ударная адиабата алюминия из [14], 2 — потенциальное давление (16). *b*) 1 — характеристическая температура (10), 2 — объемная зависимость  $\theta(V) = 0.75\theta_D$ , где  $\theta_D = \theta_D(V)$  — расчет объемной зависимости температуры Дебая из [15], 3 — объемная зависимость параметра де Бура (20) для алюминия.

зависимостью характеристической температуры из [15], показанной на рис. 5, *b* графиком 2. Предполагая, что соотношение (10) справедливо с такой же точностью вплоть до объемов  $V \sim \nu_0$  выразим объемную зависимость параметра де Бура как

$$A \approx \left( \frac{N\hbar^2}{Mk\Theta_0} \right)^{1/2} \left( \frac{N}{V_0} \right)^{1/3} \left( \frac{\nu_0 - V_0}{\nu_0 - V} \right). \quad (20)$$

График (20) с константами  $\Theta_0$ ,  $V_0$ ,  $\nu_0$  для алюминия из табл. 2 показан на рис. 5, *b* кривой 3. На основании этого графика можно ожидать, что в откольных экспериментах произойдет плавление алюминия в волне растяжения при значении объема  $V = \nu_A$ , где выполняется критерий  $A = 1$ , даже в тех случаях, когда начальная температура и ударный разогрев образца оказываются существенно ниже температуры, определяемой обычной кривой плавления. Отметим также, что при дальнейшем увеличении растяжения параметр де Бура быстро возрастает по мере приближения объема к значению  $\nu_0$ , что означает гиперболическое возрастание амплитуды нулевых колебаний по сравнению с межатомным расстоянием. Эту область объемов  $\nu_A < V < \nu_0$  можно соотнести с областью разрушения расплава алюминия при сверхкоротких временах воздействия.

В заключение отметим, что расчетный объем алюминия, соответствующий теоретической прочности в [15], составляет величину  $14.86 \text{ см}^3/\text{mol}$ , что на 40% меньше величины  $\nu_x$  из табл. 2. Поэтому, если качественные выводы о поведении алюминия в области больших растяжений, сформулированные выше, представляются правдоподобными, то количественные оценки, очевидно, нуждаются в уточнениях.

## 6. Заключение

Сопоставлены экспериментальные данные по квазистатическому и откольному разрушению алюминия. Экспериментальные данные по отколу истолкованы с позиций кинетической концепции прочности твердых тел. Предложено соотношение для достоверного описания температурно-временной зависимости прочности алюминия в диапазоне времен  $10^5 - 10^{-11}$  с и температур 300–600 К. Получены уравнения состояния алюминия, на основе которых проведены расчеты изменения температуры при ударно-волновом сжатии и последующем расширении алюминия в волне растяжения. Проведен качественный анализ поведения алюминия в области больших растяжений.

## Список литературы

- [1] С.И. Ашитков, П.С. Комаров, А.В. Овчинников, Е.В. Струлева, М.Б. Агранат. Квантовая электрон. **43**, 242 (2013).
- [2] В.К. Голубев, С.А. Новиков, Ю.С. Соболев, Т.С. Юкина. Проблемы прочности **6**, 28 (1985).
- [3] А.М. Молодец, В.И. Лебедев, А.Н. Дремин. ФГВ **25**, 101 (1989).
- [4] А.М. Молодец, А.Ю. Фомичев. Хим. физика **16**, 124 (1997).
- [5] T. de Ressaiguier, E. Lescoute, D. Loison. Phys. Rev. B **86**, 214 102 (2012).
- [6] E.B. Zaretsky, G.I. Kanel. J. Appl. Phys. **112**, 073 504 (2012).
- [7] В.Р. Регель, А.И. Слуцкер, Э.Е. Томашевский. Кинетическая природа прочности твердых тел. Наука, М. (1974). 560 с.
- [8] А.М. Молодец. ФТТ **55**, 2090 (2013).
- [9] Н.А. Златин, С.М. Мочалов, Г.С. Пугачев, А.М. Брагов. ФТТ **16**, 1752 (1974).
- [10] D.A. Dalton, D.L. Worthington, P.A. Sherek, N.A. Pedrazas, H.J. Quevedo, A.C. Bernstein, P. Rambo, J. Schwarz, A. Edens, M. Geissel, I.C. Smith, E.M. Taleff, T. Ditmire. J. Appl. Phys. **110**, 103 509 (2011).
- [11] Т.П. Санфирова. Автореф. канд. дисс. ЛПИ, Л. (1961).
- [12] A. Jayaraman, W. Klement, R.C. Newton, G.C. Kenedy. J. Phys. Chem. Solids **24**, 7 (1963).
- [13] R.G. Greene, H. Luo, A.L. Ruoff. Phys. Rev. Lett. **73**, 2075 (1994).
- [14] LASL Shock Hugoniot Data / Ed. S.P. Marsh. University of California Press, Berkeley (1980).
- [15] Г.В. Синько, Н.А. Смирнов. Письма в ЖЭТФ **75**, 4, 217 (2002).